

Mo - Bi

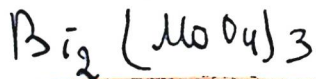


VII 2435

1920

Zambonini

2.Gazz.chim.ital.50 II, I28 (1920)



T_m

Circ. 500



5

legir & S-ke

VII 4300

1956

Bi_2MoO_6 (Kpver. emp.)

Zemann J.

Heidelberg. Beitr. Mineral. und
Petrograph., 1956, 5, №2, 139-145



M1

EOTB O. H.

VII 869 1962

Tm(Bi₂(MoO₄)₃, Bi₂MoO₆,
3Bi₂O₃·MoO₃, Pb₂MoO₅, PbMoO₄/

Беляев И.Н., Смоляников Н.П.

Ж.неорган.химии, 1962, 7, №5, II26-31.

Тройная система Bi₂O₃-MoO₃-PbO

RX., 1963, 14Б521

Be,

F

BP - VII 1665.

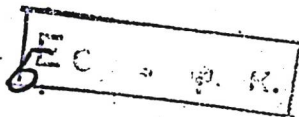
1959

$2 \text{Bi}_2\text{O}_3 \cdot \text{MoO}_3$ (T_{cr})

Gattow G.

Z. anorg. und allgem. Chem.,
1959, 298, u 1-2; 64-71.

PNZ, 1960,
221



1964

~~Би₂O₃ · 3 MoO₃~~
 9 Б447. Система Bi₂O₃—MoO₃. Ермай Л. Я.,
 Гальперин Е. Л., Колчин И. К., Добржан-
 ский Т. Ф., Чернышев К. С. «Ж. неорган. химии»,
 1964, № 9, 2174—2178

Рентгенографически (методы порошка, Лауэ, качания,
 КФОР, λCu-Kα и Mo-K) исследована система Bi₂O₃—
 MoO₃ в области конц-ии Bi 0—70 вес. %. Образцы по-
 лучены оплавлением окислов Bi и Mo или Bi(NO₃)₃ ·
 5 H₂O с (NH₄)₆Mo₇O₂₄ · 4 H₂O или совместным осажде-
 нием р-ров Bi(NO₃)₃ · 5 H₂O в разб. HNO₃ и
 (NH₄)₆Mo₇O₂₄ · 4 H₂O в 5%-ном р-ре NH₃. Обнаружены
 три соединения: Bi₂O₃ · 3 MoO₃, Bi₂O₃ · 2 MoO₃,
Bi₂O₃ · MoO₃. Предполагается, что соединение
Bi₂O₃ · 2 MoO₃ образуется по перитектич. р-ции Bi₂O₃ ·
 MoO₃ + MoO₃ (жидк.) ⇌ Bi₂O₃ · 2 MoO₃. При 636° и
 72,5 мол. % MoO₃ существует эвтектика Bi₂(MoO₄)₃ с
 Bi₂O₃ · 2 MoO₃. Параметры решетки: Bi₂O₃ · 3 MoO₃, мо-
 нокл. а 7,85, b 11,70, c 12,25 Å, β 116°20', ρ (выч.) 5,86,
 ρ (эксп.). 5,99, Z = 4, ф. гр. P2₁/c; Bi₂O₃ · 2 MoO₃, тетрагон.,
 а 11,80, c 5,40 Å, ρ (выч.) 6,61, ρ (эксп.) 6,39, Z = 4, ф. гр.

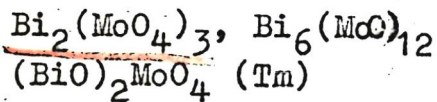
крест.
 Свер-га

Х · 1965 · 9

I4/mmm, *I4m2*, *I42m*, *I4mm* или *I42*. Установлено, что структура $\text{Bi}_2\text{O}_3 \cdot \text{MoO}_3$ зависит от способа его получения. Показано отсутствие твердых р-ров в исследованной части системы $\text{Bi}_2\text{O}_3 - \text{MoO}_3$ при комнатной температуре.

Реферат авторов

1965

VII 788

Bleijenberg A.C.A.M., Lippens B.C.,
Schut G.C.A.

J.Catalysis, 1965, 4(5), 581-5.

Catalytic oxidation of 1. butene over bismuth
molybdate catalysts. I. The system $\text{Bi}_2\text{O}_3-\text{MoO}_3$.

eeus op. K.

Be,

CA, 1965, 63, N13, 17465c

Bi₂MoO₆

1966

4 Б278. Полиморфизм Bi₂MoO₆. Blasse G. Polymorphism of Bi₂MoO₆. «J. Inorg. and Nucl. Chem.», 1966, 28, № 4, 1124—1125 (англ.)

Проведено рентгенографич. исследование (метод дифрактометрии λ Cu-K_α) высокот-рной модификации Bi₂MoO₆ (I) и Bi₂WO₆ (II), полученных спеканием смеси окислов при 750°. Показано, что I изоструктурен с La₂MoO₆. Параметры тетрагон. решетки I: a 3,95, c 17,21 Å. Обсуждается связь структуры I с низкот-рной модификацией I (кехлиниит). Обнаружено, что высокот-рная фаза II ромбич. типа кехлиниита, а не тетрагон., как описано ранее (ASTM 2—0589). Приведены значения I и d , рентгенограммы I.

Л. Демьянец

2. 1967. 4

1966

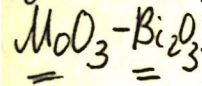
8 Б377. Кристаллическая структура $\text{Bi}_2(\text{MoO}_4)_3$.
 Мехтиев К. М., Гамидов Р. М., Мамедов А. С.
 «Мэ'рузэлэр. АзэрБССР Елмлэр Акад., Докл. АН
 АзерБССР», 1966, 22, № 7, 22—25 (рез. азерб.)

Би₂(MoO₄)₃
кристаллическая структура

Проведено рентгенографич. (методы вращения и разверток; λCu) исследование $\text{Bi}_2(\text{MoO}_4)_3$ (T). Параметры монокл. решетки: a 7,89, b 1,70, c 12,24 Å, β 116° 20', ρ 5,95, $Z=4$, ф. гр. $P 2_1/c$. С учетом поляризационного фактора для нулевых слоевых линий вычислены значения $F(hkl)^2$ и построены соотв-щие проекции межатомных векторов $P(yz)$, $P(xz)$. Установлено, что проекции $P(yz)$ и $P(xz)$ содержат ряд хорошо разрешенных максимумов, расположенных регулярно по всей плоскости проекции. Анализ указанных проекций привел к выводу, что I является производной структуры шеелита CaWO_4 при наличии в ней вакансий. Синтезы электронной плоскости I подтвердили правильность такого предположения. Удовлетворительное значение фактора R (~25%) получилось лишь после статистич. распределения вакансий катионов в структуре I. Резюме авторов

1966

*Система
из окислов*



) 8 Б613. Дилатометрия системы $\text{Bi}_2\text{O}_3 - \text{MoO}_3$. Смолов
ляининов Н. П. «Ж. неорган. химии», 1966, 11, № 12,
2841—2843

Методом дифференциального кварцевого дилатометра
в интервале 20—600° исследованы коэф. линейного рас-
ширения поликристаллич. образцов системы $\text{Bi}_2\text{O}_3 - \text{MoO}_3$
до 60 мол. % MoO_3 . Подтверждено образование соеди-
нений: $\text{Bi}_{20}\text{MoO}_{33}$, $\text{Bi}_6\text{MoO}_{12}$ и Bi_2MoO_6 . Состав 55 мол. %
 $\text{Bi}_2\text{O}_3 + 45$ мол. % MoO_3 обнаруживает ранее неизвест-
ный эффект превращения при 320—330°. Реферат автора

x · 1967 · 8

Coenocca
Mo-Bi-S

1966

Steinbrook M.

Carnegie Institution Washington Year

Book 1965-1966 Baltimore Md. S. a 336

Coenocca Bi-Mo-S

Cell (MoS₂)

$x \text{Bi}_2\text{O}_3 \cdot y \text{MoO}_3$

VII-282 1966

Bismuth trioxide-molybdenum anhydride system. L. M. Viting. *Vestn. Mosk. Univ., Ser. II: Khim.* 21(2), 60-2 (1966) (Russ.). The system was studied by thermal, visual polythermal, and microstructural analyses. Anal. grade Bi_2O_3 with m.p. 820° was used; MoO_3 (m.p. 820°) was obtained by decomprn. of NH_4 molybdate in a Pt crucible. The compd. $\underline{3\text{Bi}_2\text{O}_3 \cdot \text{MoO}_3}$, melting congruently at 985° , and the incongruently melting compds. $\underline{2\text{Bi}_2\text{O}_3 \cdot \text{MoO}_3}$, m.p. 925° , described previously by Gattow (*CA* 53, 6724g), $\underline{\text{Bi}_2\text{O}_3 \cdot \text{MoO}_3}$ (m.p. 900°), and $\underline{\text{Bi}_2\text{O}_3 \cdot 3\text{MoO}_3}$ (m. p. 650°) were found. $3\text{Bi}_2\text{O}_3 \cdot \text{MoO}_3$ forms solid solns. with both oxides, and a eutectic with Bi_2O_3 at 800° and ~ 1.5 mole % MoO_3 . These results do not agree with those of Belyaev and Smolyaninov (*CA* 57, 9272c), who indicate the existence of 3 congruently melting compds.

Aniela Klein

T_m

C.A. 1966. 65:6
8081g

$\text{BiVO}_4 \cdot 3\text{Bi}_2\text{O}_3 \cdot \text{MoO}_3$ (Tm)

1966

VII 4143

Румянцев А.Н., Чолубкова 2.П.

Вестн. Моск. Унив. Сер II Хим., 1966,
21 (2), 63-65

(cp)

5

ca 1966

$\text{MoO}_3 \cdot \text{Bi}_2\text{O}_3$

1962

$\text{Bi}_2\text{O}_3 \cdot 3\text{MoO}_3$

6 Б785. Спектрофотометрическое исследование системы Bi_2O_3 — MoO_3 . Janik Aleksander. Spektrofotometryczne badanie układu Bi_2O_3 — MoO_3 . «Roczn. chem.», 1967, 41, № 7-8, 1399—1401 (польск.; рез. англ.)

Методами ИК-спектроскопии исследована система Bi_2O_3 — MoO_3 . В системе зафиксировано образование соединений $\text{Bi}_2\text{O}_3 \cdot 3\text{MoO}_3$ и $\text{Bi}_2\text{O}_3 \cdot \text{MoO}_3$, имеющих ИК-спектры, сходные со спектрами MoO_3 и Bi_2O_3 . Л. В. Ш.

ИК-спектр

X. 1968. 6

1968

Bi MoO₆
2

1 Б500. О модификациях соединения Bi₂MoO₆. Ер-
 ман Л. Я., Гальперин Е. Л. «Ж. неорган. химии»;
 1968, 13, № 4, 927—931

Методами высокотемпературной рентгенографии (вы-
 сокотемпературная вакуумная камера и камера ВРС,
 λ Cu-K_α) и дифференциальнотермич. анализа установле-

но, что соединение Bi₂MoO₆ имеет три модификации, в
 основе структуры которых лежит искаженная кубич.
 гранецентрированная подъячейка с периодом 5,4—5,7 Å.
 Показано, что метастабильная модификация γ при нагре-

T_{tr} , присб.
 суп-ра.

X. 1969. 1

вании выше 600° переходит в стабильную модификацию γ' через промежуточную форму γ'' . Температурные переходы происходят по схеме $\gamma \rightleftharpoons \gamma'' \rightarrow \gamma'$. $\gamma \rightarrow \gamma'$ -Переход связан с уменьшением плотности на 10%, что согласуется с наличием эндотермич. эффекта при переходе, и с существенным изменением крист. структуры. Параметры крист. решеток: γ'' $a = 11,90$, $b = 11,90$, $c = 5,45$ Å (или кратное ему значение), $Z = 6$, ρ (выч.) 7,85, ρ (эксп.) 7,8; γ' 15,91; 15,80; 17,19; 32; 7,45; 7,3; γ 5,50; 16,215; 5,485; 4; 8,25; 8,0.

Ю. В. Караван

10)

 $\text{Bi}_2\text{O}_3 \cdot \text{MoO}_3$ $\text{Bi}_2\text{O}_3 \cdot 3\text{MoO}_3$ T_m Крист.
суп-ра

X. 1970. 10

VII-4507

1969

10 Б980. Изучение системы Bi_2O_3 — MoO_3 . Kohlmueller Robert, Badaud Jean-Paul. Etude du système Bi_2O_3 — MoO_3 . «Bull. Soc. chim. France», 1969, № 10, 3434—3439 (франц.; рез. англ.)

Рентгенографически и методом ДТА изучалась система Bi_2O_3 — MoO_3 . Установлено существование двух соединений: $\text{Bi}_2\text{O}_3 \cdot 3\text{MoO}_3$ (I), конгруэнтно плавящегося при $T=666^\circ$ и $10\text{Bi}_2\text{O}_3 \cdot \text{MoO}_3$ (II), никонгруэнтно плавящегося при $T=810^\circ$. I кристаллизуется в монокл. сингонии с параметрами: $a = 7,85$; $b = 11,70$; $c = 12,25$ Å; $\beta = 116^\circ 20'$; $Z = 4$. II кристаллизуется в ромбич. сингонии с параметрами: $a = 5,50$; $b = 5,56$; $c = 5,76$ Å. При комнатной T существуют три фазы: α , β и γ . Фаза γ соответствует составу $\text{Bi}_2\text{O}_3 \cdot \text{MoO}_3$ и существует в трех кристаллич. формах.

При t -ре 675° происходит превращение $\gamma \rightleftharpoons \gamma'$ и при 950° $\gamma' \rightleftharpoons \gamma''$. Фаза γ'' конгруэнтно плавится при 965° . γ -фаза индуцируется в ромбич. сингонии с параметрами: $a = 15,91$; $b = 15,80$; $c = 17,19$ А. α и β -фазы стабильны практически до одной и той же t -ры 850° ; выше этой t -ры образуется ε -фаза. В области больших содержаний Bi_2O_3 при t -ре выше 820° образуется δ -фаза состава $\text{Bi}_{2x}\text{Mo}_{1-x}$, где $0,1 < x < 1$. δ -фаза имеет структуру CaF_2 с $a = 5,64$ А.

М. Г. Лифшиц

<u>$\text{Bi}_2\text{O}_3 \cdot 3\text{MoO}_3$</u>	VII-4507	1969
<u>$10\text{Bi}_2\text{O}_3 \cdot 11\text{MoO}_3$</u>		
<u>$\frac{1}{2}$</u>		
<u>T_m</u>		
<u>C.A. 1970.</u>	72.8	

Bi₂O₃.9 MoO₃

VII-4290

1969

119068j Preparation of Bi₂O₃.2MoO₃. Wojcik, Jerzy (Zaki. Nauk.-Badaw. Zakl. Chem., Oswiecim, Pol.). Roczn. Chem. 1969, 43(5), 889-94 (Pol). X-ray and derivatographic techniques were used to study the reaction of Bi₂O₃ with MoO₃. A 1:2 molar ratio mixt. of Bi₂O₃ and MoO₃ formed Bi₂O₃.3MoO₃ and Bi₂O₃.MoO₃ at 700°K. and Bi₂O₃.2MoO₃, which is presumably the product of the reaction of Bi₂O₃.3MoO₃ and Bi₂O₃.MoO₃, at 750°K. At the m.p. (900°K.) Bi₂O₃.2MoO₃ was the sole component of the mixt. In the sample contg. coptd. Bi and Mo oxides Bi₂O₃.2MoO₃ was formed at 600°K. Bi₂O₃.2MoO₃ is unstable >1000°K. and the endothermic effect at 1000-100°K. was attributed to the reaction 2 (Bi₂O₃.2Mo₂O₃) = Bi₂O₃.MoO₃ + Bi₂O₃.3MoO₃. The x-ray diffraction pattern of the sample heated to 1100°K. indicated the presence of polymorphic variety of Bi₂O₃.2MoO₃, forming at high temps.

Ewa Bartel-Kornacka

C.A. 1969.

VI. 24

Bi₂O₃ · x MoO₃

111-5030

1970

92078q Bismuth molybdates in the binary system bismuth oxide-molybdenum oxide. Janik, Aleksander (Inst. Ciezkiej Syn. Org., Błachownia Śląska, Poland). *Roczn. Chem.* 1970, 44(3), 481-8 (Pol). Ir spectra and powder diagrams show that annealing at 300-400° of samples contg. MoO₃ and Bi₂O₃ in the ratio of 3:1 and 1:1 produces the α -(Bi₂O₃.3MoO₃) and γ I-(Bi₂O₃.MoO₃) phase, resp. The γ I-phase changes into γ II-phase on annealing at 600°. The α -phase is also formed when samples having a 2:1 ratio are annealed at 400-500°; at 600°, the β -(Bi₂O₃.2MoO₃) phase forms. Annealing at 400° Bi₂O₃ and MoO₃ in the ratio of 3:1 produces 3Bi₂O₃.MoO₃. The α -phase is stable towards aq. NH₃ but is decompd. by 10% NaOH; both reagents dissolve unbound MoO₃. A. Janowski

C.A. 1970.73 18

Bi
2 (MoO₄)
3

VII-5949

1971

19 Б835. Изучение взаимодействий в висмутмолибдоокисной системе. Алхазов Т. Г., Хитеева В. М., Фейзуллаева Ш. А., Беленький М. С. «Ж. неорг. химии», 1971, 16, № 6, 1708—1712.

Исследование процессов, происходящих в различных висмут-молибденовых окисных системах, проведено методами термографии, ТГА, ИК-спектроскопич., кондуктометрич. и определения каталитич. активности. Взаимодействие Bi_2O_3 и MoO_3 протекает в интервале т-р 420—540° и приводит к образованию $\text{Bi}_2(\text{MoO}_4)_3$ (I) с т. пл. 648° и $\text{Bi}_2\text{Mo}_2\text{O}_9$ (II) с т. пл. 660°. При разложении смеси $\text{Bi}(\text{OH})_3$, парамолибдата NH_4 и свежеосажденного основного нитрата Bi до 300° соединения разлагаются независимо друг от друга. При 100 и 200° соотв. разла-

X. 1971. 19

гается парамолибдат NH_4^+ и обезвоживается основной нитрат Bi ; $\text{Bi}(\text{OH})_3$ при 100° теряет одну молекулу воды с образованием $\text{Bi}_2\text{O}_3 \cdot 2\text{H}_2\text{O}$. Для образования гидроокиси висмутита при атмосферном давл. требуется т-ра $> 300^\circ$. Разложение нитрата Bi начинается при 300° — т-ре начала взаимодействия соединений Mo и Bi ; конец р-ции при 450° . При $450—500^\circ$ образуется I, а не вступившая во взаимодействие часть соединений Bi при $480—490^\circ$ разлагается. При 500° начинается взаимодействие I с $\text{Bi}_2\text{O}_3 \cdot \text{H}_2\text{O}$ и Bi_2O_3 с образованием II. После расплавления I при 645° взаимодействие продолжается в расплаве с образованием Bi_2MoO_6 . В случае недостатка Bi в смеси образуются только фазы I и II.

Л. В. Шведов

Bi₂(MoO₄)₃

1973

9 Б398. Кристаллическая структура Bi₂(MoO₄)₃.
Elzen A. F. van den, Rieck G. D. The crystal
structure of Bi₂(MoO₄)₃. «Acta crystallogr.», 1973, B 29,
№ 11, 2433—2436 (англ.)

*Крист.
структур.*

Проведено рентгенографич. исследование (метод мо-
нокрист. четырехкружного дифрактометра λ Mo и ме-
тод порошка) Bi₂(MoO₄)₃, полученного соосаждением
нитрата висмута с молибденовой к-той и дальнейшей
рекристаллизацией в открытом кварцевом тигле. Па-
раметры монокл. решетки a 7,685, b 11,491, c 11,929,
 β 115,40°, ρ (изм.) 5,97, ρ (выч.) 6,19, $Z=4$, ф. гр. $P2_1/c$.
Структура уточнена МНК до $R(hkl)=0,037$ и харак-
теризуется 51 параметром. Координаты атомов приве-
дены в статье. Структура соединения, как и структура
Er₂(WO₄)₃ может быть рассмотрена, как структура

X. 1974 № 9

шеелита с упорядочением вакантных мест в катионной части. В случае висмутового соединения вакантные положения располагаются параллельно плоскости (011). Каждый ион Mo окружен по тетраэдру атомами O (Mo—O 1,72 и 1,87 Å). Кроме того пятый атом O находится на расстоянии Mo—O 2,2 Å, образуя неправильные тригон. бипирамиды, соединенные попарно общими ребрами. Одни группы $[Mo_2O_8]$ центросимметричны, другие — нецентросимметричны. Атомы Bi имеют окружение из 8 атомов O, причем четыре расстояния Bi—O 2,12—2,35 Å и четыре Bi—O 2,60—2,93 Å.

З. В. Пудовкина

Bi₂O₃ : 3MoO₃

1975

) 18 Б480. Соединения и фазовая диаграмма системы Bi₂O₃—MoO₃ в области, обогащенной MoO₃. Chen T., Smith G. S. The compounds and the phase diagram of MoO₃-rich Bi₂O₃—MoO₃ system. «J. Solid State Chem.», 1975, 13, № 4, 288—297 (англ.)

(Tm)

Фазовые равновесия в системе Bi₂O₃—MoO₃ при содержании Bi₂O₃ от 0 до 50 моль% исследованы методами ДТА и рентгеновской дифракции. Подтверждено существование 4 индив. соединений: Bi₂O₃·3MoO₃ (I), Bi₂O₃·2MoO₃ (II), Bi₂O₃·MoO₃ (III), 1,3 Bi₂O₃·MoO₃ (IV). Представленная фазовая диаграмма отличается от лит. данных: соединение I плавится конгруэнтно при 662°, III — инконгруэнтно при 947°. Фазы II и III образуются в результате перитектич. р-ций, соединение I существует как граничный случай перитектич. или эвтектич. р-ции. Методом вытягивания из р-ра в распла-

аг

X 1975 N/8

ве выращены монокристаллы всех 4 соединений. Кристаллы I и III получены также медленным (2 град./мин) охлаждением расплавов Bi_2O_3 — MoO_3 , содержащих соотв. 20 и 40 мол.% Bi_2O_3 . Данные рентгенографич. анализа фаз II—IV (методы Вейсенберга, прецессии, $\lambda\text{Cu}-\text{K}\alpha$) отличаются от известных лит. данных.

Параметры монокл. решетки I: a 7,715, b 11,512, c 11,981 Å, β 115°26', ρ (изм.) 6,22, ρ (выч.) 6,24, $Z=4$, ф. гр. $P2_1/c$; II 11,954; 10,810; 11,890, 90°, 6,545; 6,517, 8, ф. гр. $P2_1/n$; III 17,251; 22,422; 5,861; 89°30'; 7,495; 7,506; 16, ф. гр. $P2_1/c$; IV 24,723; 5,804; 11,799; 102°45'; 7,47—7,53; 7,536, ф. гр. $P2_1/m$ или $P2_1$. Проведенные исследования показали отсутствие полиморфных превращений в соединениях I—III. Л. Н. Демьянец

Bi₂O₃ · 2 MoO₃

1977

11 Б696. Электропроводность и диэлектрическая проницаемость в системах Bi₂O₃—MoO₃, Bi₂O₃—WO₃. Каргин Ю. Ф., Кутвицкий В. А., Скориков В. М. «Изв. АН СССР. Неорганические материалы», 1977, 13, № 1, 128—131.

В системах Bi₂O₃—MoO₃, Bi₂O₃—WO₃ методом прессованных порошков измерены электропроводность и диэлектрическую проницаемость на частоте 1 кГц в зависимости от температуры. Электропроводность изученных материалов имеет активационный характер. Установлено, что полиморфные превращения соединений в системах отвечают определенные изменения электропроводности и диэлектрической проницаемости. Обнаружено полиморфное превращение у соединения Bi₂O₃·2MoO₃, которое по характеру изменения диэлектрической проницаемости от температуры можно отнести к сегнетоэлектрическому. Автореферат

T_{TG}

X, 1977, N/1

Bi₂O₃ · 2 MoO₃

1977

1) 86: 114141e Electrical conductivity and dielectric constant in bismuth(III) oxide-molybdenum(VI) oxide and bismuth(III) oxide-tungsten(VI) oxide systems. Kargin, Yu. F.; Kutvitskii, V. A.; Skorikov, V. M. (Inst. Obshch. Neorg. Khim., im. Kurnakova, Moscow, USSR). *Izv. Akad. Nauk SSSR, Neorg. Mater.*, 1977, 13(1), 128-31 (Russ.). A study of the temp. dependences of the elec. conductivities (σ) and dielec. consts. (ϵ) of the Bi₂O₃-MoO₃ and Bi₂O₃-WO₃ systems showed changes in σ and ϵ at the polymorphous transformations of compds. in these systems. The compd. Bi₂O₃·2MoO₃ undergoes a polymorphous transformation at 300° which, due to the change in ϵ with temp., can be regarded as ferroelec.

(T_{tr})

C.A. 1977, 86 N16

Системы из окислов

1977

$\text{MoO}_3 - \text{Bi}_2\text{O}_3$

$\text{WO}_3 - \text{Bi}_2\text{O}_3$

5 И258. Системы $\text{Bi}_2\text{O}_3 - \text{MoO}_3$ и $\text{Bi}_2\text{O}_3 - \text{WO}_3$ в жидкому состоянии. Каргии Ю. Ф., Скориков В. М., Кутвицкий В. А., Жереб В. П. «Изв. АН СССР. Неорганические материалы», 1977, 13, № 1, 132—134

Исследованы зависимости вязкости, плотности, электропроводности (ЭП) и поверхн. натяжения расплавов систем $\text{Bi}_2\text{O}_3 - \text{MoO}_3$ и $\text{Bi}_2\text{O}_3 - \text{WO}_3$ от их состава и т-ры. Вязкость расплавов измеряли методом коаксиальных цилиндров, плотность и поверхн. натяжение — методом лежащей капли, ЭП — методом двух электродов на частоте 1 кГц. Из поведения температурных зависимостей ЭП при различных конц-ях компонент сделан вывод, что ЭП исследованных систем определяет-

+1

Ф. 1977 N 5.

ся ближним порядком и плавление происходит без существенных структурных перестроек. Экстремумы на изотермич. концентрационных зависимостях исследованных параметров соответствовали наиболее термостабильным системам. Предположено, что структурными единицами расплавов являются комплексные гетероанионы, в которых катионы Mo или W окружены деформированными октаэдрами BiO_6 . При высоких т-рах, по-видимому, происходит дезагрегация комплексных анионов, обусловливающая отклонение температурной зависимости ЭП и вязкости от экспоненц. закона.

И. А. Соколик

2 Б923. Фазовая диаграмма системы Bi_2O_3 — MoO_3 . Egashira Tako, Matsuo Katsuhiko, Kawagawa Shunichi, Seiyama Tetsujiro. Phase Diagram of the System Bi_2O_3 — MoO_3 . «J. Cata.» 1979, 58, № 3, 409—418 (англ.)

С помощью ДТА и РФА изучена система Bi_2O_3 — MoO_3 в пределах изменения отношения Bi/Mo от 2/1 до 2/3. Приведены результаты исследований кинетики р-ций, происходящих в этой системе. Установлено существование в системе восьми соединений $7\text{Bi}_2\text{O}_3 \cdot \text{MoO}_3$ (I), $3\text{Bi}_2\text{O}_3 \cdot \text{MoO}_3$ (V), низко- и высокотемпературной формы $3\text{Bi}_2\text{O}_3 \cdot 2\text{MoO}_3$ (II), низко- и высокот-риой формы $\text{Bi}_2\text{O}_3 \cdot \text{MoO}_3$ (III), $\text{Bi}_2\text{O}_3 \cdot 2\text{MoO}_3$ (IV) и $\text{Bi}_2\text{O}_3 \cdot 3\text{MoO}_3$. Для I и для двух модификаций II приведены дифрактограммы. Установлено, что IV получается в ходе перитектич. р-ции из жидк. фазы и высокот-риой формы III при 665° , а высокот-риая фаза III также образуется по перитектич. р-ции из жидк. фазы и высокот-риого II. Установлено, что V с II образуют эвтектику при 950° , а между Bi_2O_3 и V существует непрерывный ряд тв. р-ров. Приведена фазовая диаграмма системы Bi_2O_3 — MoO_3 , детализированная в области 12—100% мол. MoO_3 .

Б. Г. Кахан

1979

Bi₂O₃ · MoO₃

*greenish
gray.*

91: 113107n Phase diagram of the system bismuth(III) oxide-molybdenum(VI) oxide. Egashira, Makoto; Matsuo, Katsuhide; Kagawa, Shuichi; Seiyama, Tetsuro (Fac. Eng., Nagasaki Univ., Nagasaki, Japan 852). *J. Catal.* 1979, 58(3), 409-18 (Eng). The phase diagram of the Bi_2O_3 - MoO_3 system was studied by x-ray diffraction and DTA in the range $\text{Bi}/\text{Mo} = 2/1$ to $2/3$, of particular interest in catalysis. X-ray diffraction identified the following 8 compds: $7\text{Bi}_2\text{O}_3\text{MoO}_3$, $3\text{Bi}_2\text{O}_3\text{MoO}_3$, low and high temp. forms of $3\text{Bi}_2\text{O}_3\text{.}2\text{MoO}_3$, koechlinite, and high temp. forms of $\text{Bi}_2\text{O}_3\text{.MoO}_3$, $\text{Bi}_2\text{O}_3\text{.}2\text{MoO}_3$, and $\text{Bi}_2\text{O}_3\text{.}3\text{MoO}_3$. The low temp. form of $3\text{Bi}_2\text{O}_3\text{.}2\text{MoO}_3$ is a new modification of the $\text{Bi}/\text{Mo} = 3$ compd., while $7\text{Bi}_2\text{O}_3\text{.MoO}_3$ corresponds to that reported hitherto as $\sim 10\text{Bi}_2\text{O}_3\text{.MoO}_3$, and others are identical to those found before. $\text{Bi}_2\text{O}_3\text{.}3\text{MoO}_3$ forms eutectics with MoO_3 at 615° and with $\text{Bi}_2\text{O}_3\text{.}3\text{MoO}_3$ at 640° . $\text{Bi}_2\text{O}_3\text{.}2\text{MoO}_3$ is generated by the peritectic reaction of the liq. phase and the high temp. phase of $\text{Bi}_2\text{O}_3\text{.MoO}_3$ at 665° . $\text{Bi}_2\text{O}_3\text{.}2\text{MoO}_3$ is stable at $665\text{-}540^\circ$, below which range it disproportionates into $\text{Bi}_2\text{O}_3\text{.}3\text{MoO}_3$ and the koechlinite form of $\text{Bi}_2\text{O}_3\text{.MoO}_3$. The high temp. form of $\text{Bi}_2\text{O}_3\text{.MoO}_3$ is also formed by the peritectic reaction of the liq. and the high temp. phase of $3\text{Bi}_2\text{O}_3\text{.}2\text{MoO}_3$. The transition temps. between 2 modifications in $\text{Bi}_2\text{O}_3\text{.MoO}_3$ and in $3\text{Bi}_2\text{O}_3\text{.}2\text{MoO}_3$ are 600 and 750° , resp. $3\text{Bi}_2\text{O}_3\text{.MoO}_3$ forms a eutectic with $3\text{Bi}_2\text{O}_3\text{.}2\text{MoO}_3$ at 950° , and a solid soln. with Bi_2O_3 .

C.H. 1979, 9, N.Y.

1980

Bi_2MoO_6

5 E711. Полиморфные превращения Bi_2MoO_6 . Poly-morphic transformations of Bi_2MoO_6 . Watanabe A., Kodama H. «J. Solid State Chem.», 1980, 35, № 2, 240—245 (англ.)

Полиморфизм Bi_2MoO_6 , полученного синтезом из Bi_2O_3 и MoO_3 , исследован с помощью диффер. термич. анализа, диффер. дилатометрии и дифференциальной сканирующей калориметрии. Установлено существование двух стабильных модификаций γ и γ' и одной метастабильной γ'' . Для выяснения их относит. стабильности смесь γ - и γ' -фаз термообрабатывали в гидротермальных условиях в водных растворах NH_4F различной конц-ции при 400 и 500°С с последующим рентгенографированием продуктов реакции. После такой обработки низкотемпературная γ -фаза переходит в γ'' -модификацию при 604°С, которая при дальнейшем нагреве в интервале 640—670°С превращается в стабильную γ' -фазу. При изотермич. выдержке при 604°С $\gamma'' \rightarrow \gamma'$ -переход растянут во времени. Энталпии $\gamma' \rightarrow \gamma''$ - и $\gamma'' \rightarrow \gamma'$ -переходов составляют 0,1 и 3,2 ккал/моль соответственно.

Б. Г. Алапин

Ф. 1981 № 5

1980

Bi₂MoO₆

94; 39727h Polymorphic transformations of bismuth molybdate (Bi₂MoO₆). Watanabe, A.; Kodama, H. (Natl. Inst. Res. Inorg. Mater., Ibaraki, Japan 305). *J. Solid State Chem.* 1980, 35(2), 240-5 (Eng). The polymorphism of Bi₂MoO₆ was studied by DTA, differential dilatometry, and differential scanning calorimetry with γ form specimens having the koechlinite structure prepd. by sintering the oxides Bi₂O₃ and MoO₃. Two stable γ and γ' forms and one metastable γ'' form were obsd. The relative thermal stability of the γ form compared with the γ' form was exampd. by isothermal heating of a mixt. of the two forms under hydrothermal conditions. Thus, the low-temp. stable γ form transformed reversibly to the γ'' form at $604 \pm 3^\circ$, and on subsequent heating, the γ'' form transformed irreversibly to the high-temp. stable γ' form at 640 to 670° , depending on heating rates; however, an isothermal treatment at a temp. above $604 \pm 3^\circ$ brought the gradual transition of the γ'' form into the γ' form.

(Tet)

C.A. 1981 94 116

1980

Bi₂MoO₆

11 Б961. Полиморфные превращения в Bi₂MoO₆.
 Watanabe A., Kodama H. Polymorphic transformations of Bi₂MoO₆. «J. Solid State Chem.», 1980, 35, № 2, 240—245 (англ.)

Полиморфные превращения в Bi₂MoO₆ (I) исследованы с помощью методов ДТА, дифференциального дилатометрич. анализа и DCK. Образцы γ-I изготовлены спеканием смесей Bi₂O₃ и MoO₃ в закрытом Pt-тигле при 550° С. Сравнение стабильности γ и γ'-форм I проведено изотермич. нагревом в гидротермальных условиях: в р-ре NH₄F до 404° С при давл. 650 кг/см² и до 500° С при давл. 750 кг/см². Зафиксировано существование

вание двух стабильных форм I — γ и γ' и метастабильной γ''. Переход γ ↔ γ'' протекает при 604° С, переход γ'' → γ' при 640—670° С, в зависимости от скорости нагрева. Доказано отсутствие области гомогенности у γ-I. Энталпия перехода γ → γ'' равна 0,1 ккал/моль и перехода γ'' → γ' 3,2 ккал/моль.

Л. В. Шведов

Х. 1981. № 11

Bi₂(MoO₄)₃

1981

15 Б927. Уточнение диаграммы состояния системы MoO₃—Bi₂O₃ в области состава Bi₂(MoO₄)₃. Гетьман Е. И., Марченко В. И. «Ж. неорган. химии», 1981, 26, № 4, 1034—1037

Методами ДТА и рентгенофазового анализа уточнена диаграмма состояния системы MoO₃—Bi₂O₃ в области, прилегающей к соединению Bi₂(MoO₄)₃ (I). Подтвержден конгруэнтный характер его плавления (660° С) и установлено наличие фазового перехода I вблизи т. пл. (657° С). Область гомогенности I оценена в 0,75 мол. % MoO₃. Р-римость со стороны Bi₂O₃ оценена по результатам ДТА в 0,5 мол. % Bi₂O₃. Из резюме

Tt2; Tm.

д. 1982. 11/15

1981

$\text{Bi}_2(\text{MoO}_4)_3$

Tm

✓ 94: 1982-6 Ch Refinement of the phase diagram of the molybdenum trioxide-bismuth oxide system in the bismuth-molybdate ($\text{Bi}_2(\text{MoO}_4)_3$) composition region. Get'man, E. I.; Marchenko, V. I. (Donetsk. Gos. Univ., Donetsk, USSR). *Zh. Neorg. Khim.* 1981, 26(4), 1034-7 (Russ). DTA and x-ray phase anal. studies showed that $\text{Bi}_2(\text{MoO}_4)_3$ congruently m. at 660° and undergoes a phase transition at 657° .

C.A. 1981, 94, N24

Bi₂Mo₃O₁₂

1982

5 Б229. Исследование молибдатов висмута *in situ*. методом КР. *In situ* raman studies of bismuth molubdates. Hazle M. A., Mehicic M., Brazdil J. R., Grasselli R. K. «Raman Spectrosc.: Linear and Non-linear. Proc. 8th Int. Conf., Bordeaux, 6—11 Sept., 1982». Chichester e. a., 1982, 671—672 (англ.)

Методом спектроскопии КР изучена кинетика циклич. восстановления—окисления α -, β - и γ - $Bi_2Mo_3O_{12}$ при высоких т-рах. Полученные данные подтверждают предложенный ранее механизм. Найдено, что β -фаза термически устойчива до 600°, однако в присутствии α - и γ -фаз диспропорционирует при т-рах выше 480°. α - и γ -фазы не диспропорционируют. Т. Б. Ченская

переводчик.

X. 1983, 19, N5.

$\gamma\text{-Bi}_2\text{O}_3 \cdot \text{MoO}_3$

1982

15 Б362. Молибдат висмута: полиморфная модификация $\gamma''\text{-Bi}_2\text{O}_3 \cdot \text{MoO}_3$. Theobald François, Laafif Ahmed, Tasneem Michel. Bismuth molybdate: the $\gamma''\text{-Bi}_2\text{O}_3 \cdot \text{MoO}_3$ polymorph. «J. Catal.», 1982, 73, № 2, 357—360 (англ.)

Описаны методики получения различных полиморфных модификаций $\text{Bi}_2\text{O}_3 \cdot \text{MoO}_3$: α , β , γ , γ' , γ'' , и приведены результаты рентгенографич. исследования (методы прецессии и Вейсенберга) модификации γ'' , полученной нагреванием β при т-ре 750°. Для γ'' определена структура флюоритового типа с параметрами тетрагон. решетки: a 11,880, c 10,778 Å, возможные ф. гр. $P4_2/nmc$, $P4/nm$, $P4/n$, или $P4_2/n$. Отмечается сродство структуры γ'' со структурами β , γ (все модификации, за исключением α , характеризуются структурами, пр-ными от структурного типа флюорита).

С. В. Соболева

X. 1982, 19, N15.

Bi₂MoO₆

Он. 16481 1983

9 Е662. Структурная и температурная характеристика полуморфией γ'' -фазы в Bi_2MoO_6 . Structural and thermal characterization of the γ'' polymorph of Bi_2MoO_6 . Gauthier P., Ernst V., Courtine P. «J. Solid State Chem.», 1983, 47, № 1, 47—52 (англ.)

Рентгенографически, методами дифференц. термич. анализа, инфракрасной спектроскопии и комб. рас. света показано, что в соединении Bi_2MoO_6 вблизи 600°C происходит переход $\gamma \rightarrow \gamma''$, который является полностью обратимым, если γ'' не переходит в γ' при более высоких т-рах. $\gamma'' \rightarrow \gamma$ является превращением 2-го рода. Параметры $\langle a \rangle$, $\langle b \rangle$, $\langle c \rangle$ γ -фазы и ее уд. объем V линейно увеличиваются при повышении т-ры увеличения при 500°C скорость увеличения $\langle a \rangle$, $\langle c \rangle$ и V возрастает, а $\langle b \rangle$ уменьшается. Показано, что при 600°C происходит обратимое изменение окружения Mo (от 6 до 4). Рассмотрена возможность изменения связей атомов Mo при 600°C и термодинамич. схема переходов в соединении Bi_2MoO_6 . Библ. 18.

В. А. Лободюк

9. 1983, 18, № 9

BiMoO₆

On. 16481 1983

) 19 Б441. Структурная и температурная характеристики γ'' -полиморфа BiMoO₆. Structural and thermal characterization of the γ'' polymorph of Bi₂MoO₆. Gau-cher P., Ernst V., Courtine P. «J. Solid State Chem.», 1983, 47, № 1, 47—52 (англ.)

Проведено изучение метастабильного γ'' -полиморфа BiMoO₆ (**I**) при высоких т-рах. Рентгенографически для γ'' -фазы при 600°С установлена ромбич. решетка (a 5,570, b 16,219, c 5,591 Å, V 505,03 Å³, Z 4). При т-рах 20°—700°С происходит увеличение V . Спектральные методы ДТА позволили установить фазовые превращения $\gamma \rightleftharpoons \gamma''$. Определены обратимые изменения координации атома Mo (от 6 до 4). γ'' -Фаза является сегнетоэлектриком. Проведено обсуждение фазы на основе пространственных групп и теории Бюргера о фазовых превращениях.

С. И. Ципурский

X. 1983, 19, N 19

Bi₂MoO₆ OM. 16481

1983

98: 189356h Structural and thermal characterization of the γ' polymorph of bismuth molybdenum oxide (Bi₂MoO₆). Gaucher, P.; Ernst, V.; Courtine, P. (Dep. Genie Chim., Univ. Technol. Compiègne, 60206 Compiègne, Fr.). *J. Solid State Chem.* 1983, 47(1), 47-52. (Eng). Among the different polymorphic phases of the Bi₂MoO₆ system, the intermediate γ' compd. was characterized within a metastable state by high-temp. x-ray diffraction and Raman spectroscopy. The transition $\gamma \rightleftharpoons \gamma'$ is partially displacive and partially reconstructive. In the context of the ferroelectricity of γ , the nature of the paraelec. phase is discussed with the help of space group considerations and M. J. Buerger (1951) theory of phase transitions.

T_{tr}

C.A. 1983, 98, N22

Bi₂MoO₆

1983

8 Б2035. Структурные аспекты Bi₂MoO₆. Structural aspects of Bi₂MoO₆. Van Den Elzen A. F., Boon L., Metselaar R. «Solid State Chem., 1982: Proc. 2 Eur. Conf., Veldhoven, 7—9 June, 1982». Amsterdam e. a., 1983, 773—776 (англ.)

Проведено рентгенографич. (метод порошка) изучение поведения γ -Bi₂MoO₆ (I) при нагревании на воздухе. Ход изменения параметров ромбич. (ф. гр. $Pca\bar{2}_1$) решетки I при нагревании указал, что в интервале т-р 400—600° С образуется γ' -Bi₂MoO₆ (II). Обратимый переход от I к II объяснен с точки зрения незначит. ($\sim 0,9$ Å) смещения атомов О бесконечных слоев из связанных общими вершинами октаэдров MoO₆, перпендикулярных оси y I. Смещения осуществляются вдоль оси y и в плоскости xz . Следствием этого является реализация слоев из несвязанных тетраэдров MoO₄ в II. При т-рах $> 600^{\circ}$ С II переходит в γ' -Bi₂MoO₆ (III), причем переход II \rightarrow III необратим вследствие глубоких изменений структуры. Структура III может быть представлена как упорядоченный вариант (упоря-

структура

Х. 1984, 19, N8

дочение катионов Ві и Mo) структурного типа флюорита (IV). Позиции атомов О в III не определены. Структура III описывается монокл. решеткой с параметрами $a = 17,250$, $b = 22,426$, $c = 5,586$ Å, $\beta = 90,50^\circ$, ф. гр. $P2_1/c$. Переход к флюоритоподобной субъячейке III осуществляется в соответствии с ур-ниями $1/3a = a^*$, $1/4b = b^*$, $c = c^*$, где a, b, c — параметры решетки III; a^*, b^*, c^* — параметры субъячейки типа IV. Коэф. термич. расширения III в кубич. аспекте $4,5 \cdot 10^{-5} \text{C}^{-1}$. Отмечается, что полиморфные переходы в ряду I—II—III подтверждаются ходом изменения электропроводности.

М. Б. Варфоломеев

2 д.
N

1984

Bi₂O₃·MoO₃

Bi₂O₃·3MoO₃

18 Б3032. Изучение восстановления и последующего окисления молибдатов висмута (2:1, 2:3) методами термогравиметрии и дифференциальной калориметрии. Etude par thermogravimétrie et par calorimétrie différentielle de la reduction et reoxydation des molybdates de bismuth (2:1; 2:3). Stradella L., Bois V. «J. chim. phys. et phys.-chim. biol.», 1984, 81, № 1, 49—53 (фр.; рез. англ.)

С помощью микровесов в интервале т-р 423—768 К и дифференциального сканирующего калориметра исследован процесс восстановления (H_2 , 6650 Па) и послед. окисления восстановленного образца (O_2 , 6650 Па) для γ - $Bi_2O_3\cdot MoO_3$ (I) и α - $Bi_2O_3\cdot 3MoO_3$ (II). Обнаружено различие в ΔH° активации восстановления I и II в зависимости от степени превращения « a »: для I $\Delta H=74,7$ кДж/моль при $a<0,6\%$ и $\Delta H=83,8$ кДж/моль при $a>0,6\%$, для II $\Delta H=84,8$ кДж/моль при $a<0,8\%$ и $\Delta H=54,5$ кДж/моль при $a>0,8\%$ ($T=623$ К). При той же т-ре ΔH окисления восстановленного образца составила 300 кДж/моль для I и 167 кДж/моль для II.

В. В. Чепик

X. 1984, 19, n 18

Bi₂MoO₆

1984

11 Б2160. Структура γ -мolibдата висмута, Bi_2MoO_6 , по данным порошковой нейтронографии. The structure of γ -bismuth molybdate, Bi_2MoO_6 , by powder neutron diffraction. Teller Raymond G., Brazdil James F., Grasselli Robert K., Jorgensen James D. «Acta crystallogr.», 1984, C40, № 12, 2001—2005 (англ.)

Проведено нейтронографич. определение структуры (метод порошка, время-пролетная методика, профильный анализ, $R = 0,050$ для 594 отражений) $\gamma\text{-Bi}_2\text{MoO}_6$ (I, полученного взаимодействием в р-ре разб. HNO_3 реагентов $(\text{NH}_4)_6\text{Mo}_7\text{O}_{24}$ и $\text{Bi}(\text{NO}_3)_3$ с послед. отжигом осадка при т-рах до 823 К) — синтетич. аналога природного минерала кехлинита. Параметры ромбич. ре-

Структура

X. 1985, 19, N 11

шетки I: a 5,4822, b 16,1986, c 5,5091, ρ (выч.) 8,28,
 Z 4, ф. гр. $Pna2_1$. В структуре I вдоль оси c чередуются слои из соединенных вершинами октаэдров MoO_6 ($Mo-O$ 1,75—2,28 Å) и слои Bi_2O_3 . Атомы Bi находятся в неправильной координации из 7 атомов O ($Bi-O$ 2,18—3,10 Å), почти все из к-рых располагаются по одну сторону от Bi . Подобная неправильная координация объясняется влиянием неподеленной пары электронов Bi , ориентированной в направлении октаэдрического слоя. Подтверждена структурная идентичность I и кехлиниита.

С. В. Соболева

Bi₂Mo₆

1984

6 Е688. Фазовый переход в молибдате висмута
Bi₂MoO₆. Яновский В. К., Воронкова В. И.,
Голуб В. Н. «Кристаллография», 1984, 29, № 6,
1193—1194

С целью уточнения характера фазовых переходов проведены рентгеноструктурные исследования керамич. образцов Bi₂MoO₆ (МВ), полученных при 530° С (γ -фаза) и 800° С (γ' -фаза), а также твердых растворов МВ с изоструктурным Bi₂WO₆ (ВВ). Показано, что переход $\gamma \rightarrow \gamma'$ при нагревании выше 600° С протекает со скоростью, быстро увеличивающейся при повышении т-ры. При охлаждении чистого МВ обратный переход $\gamma' \rightarrow \gamma$ протекает крайне медленно, переход значительно ускоряется в растворах МВ — ВВ. Образования тетраг. фазы γ'' не обнаружено. Исследование температурной зависимости параметров γ -фазы показало, что ромбич. искажение увеличивается при повышении т-ры. Сделан вывод, что ромбич. фаза γ термодинамически устойчива, а переход $\gamma \rightarrow \gamma'$ является обратимым, но медленно протекающим переходом реконструктивного типа.

А. Отко

*фазовый
переход*

Ф. 1985, 18, № 6.

Bi₂MoO₆

1984

8 Б3146. Фазовый переход в молибдате висмута
 Bi_2MoO_6 . Янбаский В. К., Воронкова В. И.,
Толуб В. Н. «Кристаллография», 1984, 29, № 6,
1193—1194

С помощью высокот-рного рентгенографич. анализа в сочетании с ДТА и измерениями диэлектрич. проницаемости уточнен характер фазовых переходов в Bi_2MoO_6 . Показано, что имеется большое сходство в полиморфизме Bi_2MoO_6 и Bi_2WO_4 . Оба соединения полярны при низких т-рах и очень близки по своей структуре и св-вам к слоистым сегнетоэлектрикам типа $\text{Bi}_4\text{Ti}_3\text{O}_{12}$. Вместе с тем их спонтанная деформация (и поляризация) не уменьшается, а возрастает с т-рой вплоть до момента, когда решетка теряет устойчивость и происходит реконструктивный фазовый переход в неполярную фазу, симметрия к-рой не связана непосредственно с симметрией низкот-рной полярной фазы. Отмечено, что такие переходы существенно отличаются от обычных сегнетоэлектрических.

М. И. В.

*фазовый
переход*

X. 1985, 19, N8.

Bi₆Mo₂O₁₅

1985

7 Б2444. Свойства переноса для Bi₆Mo₂O₁₅. Transport properties of Bi₆Mo₂O₁₅. Вoon L., Metsehaar R. «Solid State Ionics», 1985, 16: Solid State React. Inorg. Solids. Proc. Int. Symp., Wageningen, Febr. 21—22, 1985, 201—210 (англ.)

При т-рах 300—800° С и давл. кислорода $P_{O_2} = 10^{-5}$ —1 атм. изучены ионная проводимость (σ_{ac}) Bi₆Mo₂O₁₅ (I) на частотах до 1 МГц, полная проводимость (σ_{dc}), а также коэф. Зеебека (α). Установлено, что I имеет низко- и высокот-рные модификации, к-рые являются ионными проводниками на ионах кислорода. Обратимый переход из одной модификации в др. происходит в I при т-рах 700—800° С. При этом энергия активации ионной проводимости составляет $E_{ac} = (0,55 \pm 0,05)$ эВ, а энергия активации полной проводимости — $E_{dc} = (2,1 \pm 0,1)$ эВ. Показано, что σ_{dc} и α для I зависят от P_{O_2} , причем α линейно растет с уменьшением $\lg P_{O_2}$.

В. В. Волков

X. 1986, 19, N 7

$\text{Bi}_2(\text{MoO}_4)_2$

1985

12 E874. Рост кристаллов $\text{Bi}_2(\text{MoO}_4)_3$. The crystal growth of $\text{Bi}_2(\text{MoO}_4)_3$: Jang M. S., Lee H. C., Lee J. H., Park Y. H. «Jap. J. Appl. Phys.», 1985, Pt 1, 24, Suppl. 24—2, 611—612 (англ.)

Монокристаллы $\text{Bi}_2(\text{MoO}_4)_2$ выращивались методом Чохральского. Исходный поликристаллический $\text{Bi}_2(\text{MoO}_4)_2$ синтезировался твердофазной реакцией из составляющих оксидов при 600°C 12 ч. Оптимальные условия роста: скорость вытягивания 2 мм/ч, скорость вращения 12 об/мин, т-ра роста 685°C . Выращивание проводилось на воздухе. Получены кристаллы желтого цвета с хорошо развитыми плоскостями спайности. Сняты лауэграммы при комнатной т-ре для направлений [010] и [001]. Исследованы зависимости диэлектрич. постоянных для разных ориентаций от т-ры (от комнатной до 600°C) и от частоты (от 100 кГц до 1 МГц). Найдено, что при т-ре $475 \pm 5^\circ\text{C}$ происходит фазовый переход. С. Х. Б.

φ 1986, 18, N 12.

1985

Bi₂MoO₆

} 14 Б3183. Относительные стабильности полиморфных модификаций Bi₂MoO₆. The relative Stabilities of Bi₂MoO₆ Polymorphs. Кодама Н., Ватанабе А. «J. Solid State Chem.», 1985, 56, № 2, 225—229 (англ.)

Платиновые капсулы с синтезированными высокотройной γ (H) и низкотройной γ (L) модификациями Bi₂MoO₆ после воздействия гидростатич. давл. (H₂O) в диапазоне от 100 до 1500 кг/см² и изотермич. нагрева в диапазоне т-р от 250 до 635° С подвергались закалке и затем исследовались методом РФА. В координатах давл.—т-ра установлена граница фазового перехода γ (H) — γ (L). Время превращения меняется от 140 (при 1000 кг/см² и 250° С) до 2 ч (1500 кг/см² и 500° С). Экстраполяция на атм. давл. дает т-ру перехода 570° С. Наклон фазовой границы $\Delta T/\Delta P = 0,50 \text{ K}/(\text{кг}/\text{см}^2)$, а вычисленный по ур-нию Клапейрона с использованием лит. данных 0,045 K/(кг/см²). Не найдено никаких признаков обнаруженной ранее фазы γ''. Сделан вывод, что при атм. давл. и т-ре ниже 570° С наиболее стабильна γ (L) фаза, между 570 и 604° С стабильность увеличивается в след. порядке γ'' — γ (L) — γ (H), а при более высоких т-рах в порядке γ (L) — γ'' — γ (H).

В. А. Ступников

x. 1985, 19, N 14

Bi₂MoO₆

1985

7 E518. Относительная стабильность полиморфных модификаций Bi₂MoO₆. The relative stabilities of Bi₂MoO₆ polymorphs. Кодама Н., Watanabe A. «J. Solid State Chem.», 1985, 56, № 2, 225—229 (англ.)

Исследованы фазовые превращения Bi₂MoO₆ при давл. 0,1—1,5 кбар и т-рах 250—635°C. Определена кривая равновесия между двумя стабильными фазами: низкотемпературной $\gamma(L)$ и высокотемпературной $\gamma(H)$. Экстраполяция этой кривой к атмосферному давлению дает т-ру $\gamma(L)$ — $\gamma(H)$ -перехода, равную 570°C. Известная из литературы 3-я модификация Bi₂MoO₆, метастабильная γ'' -фаза, не обнаружена. Построена фазовая диаграмма Bi₂MoO₆ в PT-координатах. Показано, что при высоких давлениях более стабильна $\gamma(L)$ -форма.

А. И. Коломийцев

Ф. 1985, 18, № 7.

Bi₂MoO₆

Лон. 21.108 / 1985

18 Б3174. Высокотемпературная модификация Bi₂-MoO₆. Осилян В. Г., Алексанян О. А., Савченко Л. М., Костанян К. А. «Изв. АН СССР. Неорган. материалы», 1985, 21, № 4, 657—660

При изучении структурных особенностей и микроструктуры керамики высокот-рной модификации Bi₂-MoO₆ показано, что слоистая структура соединения сохраняется при необратимом переходе коэхлинит→высокот-рная стабильная фаза. Определены электро-физ. параметры, свидетельствующие о наличии слабо выраженных сегнетоэлектрич. св-в стабильной модификации Bi₂-MoO₆ с предположительной т-рой Кюри ~920 К. Процесс спекания высокот-рной фазы Bi₂MoO₆ протекает согласно закономерностям, характерным для висмутсодержащих соединений со слоистой структурой.

Автореферат

Х. 1985, 19, N 18.

Bi₂Mo₂O₉

1986

21 Б2046. Кристаллическая структура $\text{Bi}_2\text{Mo}_2\text{O}_{9_1}$ селективного катализатора процессов окисления. Crystal structure of $\text{Bi}_2\text{Mo}_2\text{O}_{9_1}$: a selective oxidation catalyst. Chen H.-Y., Sleight A. W. «J. Solid State Chem.», 1986, 63, № 1, 70—75 (англ.)

Проведен РСТА (λ Mo, анизотропный МНК, $R = 0,051$ для 2711 отражений) кристаллов $\text{Bi}_2\text{Mo}_2\text{O}_{9_1}$ (I), синтезированных взаимодействием Bi_2O_3 и MoO_3 при $T = 700^\circ \text{C}$. Параметры монокл. решетки: $a = 11,972$, $b = 10,813$, $c = 11,899 \text{ \AA}$, $\beta = 90,13^\circ$, $Z = 8$, ф. гр. $P2_1/n$. Атомы Mo в структуре находятся в правильной тетраэдрич. координации ($\text{Mo}—\text{O} 1,708—1,798 \text{ \AA}$), атомы Bi — в 8-кратной координации ($\text{Bi}—\text{O} 2,129—2,919$). Многогранники BiO_3 соединяются ребрами в цепи, проходящие в направлении оси c . Тетраэдры MoO_4 присоединены вершинами к многогранникам BiO_8 . Катионы в структуре расположены по 8/9 положений искаженного объемноцентрированного

*Кристал-
структура*

X. 1986, 19, n 21

мотива. Благодаря этому в структуре имеются большие полости, окруженные атомами О и обуславливающие катализич. активность I. Хотя по каталитич. св-вам I сходен с др. молибдатами $\text{Bi} - \text{Bi}_2\text{MoO}_6$ и $\text{Bi}_2\text{Mo}_3\text{O}_{12}$ — структуры этих соединений существенно отличаются друг от друга.

С. В. Соболёва



1986

BiMo₆S₈

16 Б2308. Приготовление и физические свойства BiMo₆S₈ и SbMo₆S₈. Preparation and physical properties of BiMo₆S₈ and SbMo₆S₈. Chevregau N., Johnson D. C. «J. Solid State Chem.», 1986, 61, № 3, 347—353 (англ.)

Взаимодействием Bi и Sb с Mo₆S₈, приготовленным из Cu_{1.8}Mo₆S₈, получены поликрист. образцы BiMo₆S₈ (I) и SbMo₆S₈ (II). На основе рентгенографич. данных установлено, что I, II однофазны и имеют ромбоэдрич. структуру с параметрами решетки a 6,513 Å, α 89,78° и a 6,471 Å, α 89,62° соотв. Температурно независимый парамагнетизм I и II на ~25% меньше, чем в сверхпроводящем LaMo₆S₈, что свидетельствует о низкой плотности состояний на уровне Ферми. Это обстоятельство, вероятно, объясняет отсутствие в I и II сверхпроводящего перехода вплоть до 2 К. Однофазные смешанные соединения типа M Mo₆(S_{1-x}Se_x) с x О и M = Bi, Sb прямым взаимодействием M с Mo₆(S_{1-x}Se_x)₈ получить не удалось.

Ю. В. Ракитин

(17) 18

X. 1986, 19, № 16.

Bi_2MoO_6

1986

Yarovskii V. K.,
Vorozkova V. I.

номинир-
ована в
СССР

Phys. status solidi,
1986, A 93, N 1, 57-66.

(см. Bi_2WO_6 ; I)

Bi₂MoO₆

1987

23 Б2032. Определение структуры модификации γ (Н) молибдата висмута, Bi_2MoO_6 по данным просвечивающей электронной микроскопии высокого разрешения. An outline of the structure of γ (H)-bismuth molybdate, Bi_2MoO_6 , by high-resolution transmission electron microscopy. Watanabe A., Horiuchi S., Kodama H. «J. Solid State Chem.», 1987, 67, № 2, 333—339 (англ.)

Проведены рентгенографич. (метод порошка) и электронно-микроскопич. исследования кристаллов высокотройной модификации γ (Н)- Bi_2MoO_6 (полученных взаимодействием Bi_2O_3 и MoO_3 , при т-ре 655° С с послед. выращиванием кристаллов из флюса MoO_3 при т-ре 950° С. Параметры монокл. решетки: a 17,244, b 22,420, c 5,5857 Å, β 90,486°, Z 16, ф. гр. $P2_1/c$. Мотив структуры определен по данным картин микродифракции с использованием машинного моделирования. Атомы Mo находятся в тетраэдрич., а атомы Bi — в 8-кратной координации (Mo—O 1,9, Bi—O 2,5—3,2 Å). При этом атомы Bi и O образуют флюоритопо-

Структура

X. 1987, 19, N 23

добную подструктуру, в изолированных тетраэдрических пустотах к-рой располагаются атомы Mo. С. т. эр. полученных для I структурных результатов трактуется фазовый переход от низкот-рной модификации γ (L) (II) (ромбич., a 5,487, b 16,226, c 5,506 Å, Z : 4, ф. гр. $Pca2_1$) — синтетич. аналога минерала кехлинита — в I, проходящий через промежуточную стадию образования метастабильной модификации γ' . Параметры решеток I и II связаны топотаксич. соотношениями: $a_I \approx b_{II}$, $b_I \approx 4c_{II}$, $c_I \approx a_{II}$.

С. В. Соболева

СЯ

Biz Meadg [Dn. 30705]

1988

El Jannal N. M., Forissier N.,
et al.,

DH J. Chem. Soc. Faraday
Trans. Pt 1, 1988, 84, N9,
3169-3174 ●

$\text{Bi}_2(\text{MoO}_4)_3$

1988

On 30 696

109: 198564x Glassy behavior of bismuth molybdate ($\text{Bi}_2(\text{MoO}_4)_3$) single crystal at low temperature. Kang, K. Y.; Her, P. H.; Jang, M. S.; Kim, H. K.; Park, H. L.; Finotello, D.; Chan, M. H. W. (Dep. Phys., Pusan Natl. Univ., Pusan, S. Korea). *Solid State Commun.* 1988, 67(7), 723-4 (Eng). Glassy behavior of $\text{Bi}_2(\text{MoO}_4)_3$ single crystal at low temp. was first obsd. The sp. heat data below 1.5 K were fitted to $C = \alpha T^3 + \gamma T$, and the parameters were found to be $\alpha = 13.85$, $\gamma = 15.57$ and $\theta_D = 249.4$ K.

(G)

$T < 1.5K$

C.A. 1988, 109, N 22

Bi₂(MoO₄)₃

Om 30696 1988

12 Б3054. Стеклообразное поведение монокристалла Bi₂(MoO₄)₃ при низкой температуре. Glassy behavior of Bi₂(MoO₄)₃ single crystal at low temperature / Kang K. Y., Herg P. H., Jang M. S., Kim H. K., Park H. L., Finotello D., Chan M. H. W. // Solid State Commun.— 1988.— V. 67, № 7.— C. 723—724.— Англ.

Исследована уд. теплоемкость (C) Bi₂(MoO₄)₃ (I), полученного по методу Чохральского, при т-рах ниже 1,5 К. Пр. группа $p2_1/n$ с a 11,01 Å, b 11,43 Å, c 7,73 Å и β 103,3°. Зависимость C от т-ры для монокрист. I ниже 1,5 К описывается формулой: $C = \alpha T^3 + \gamma T$, где коэф. α связан с дебаевской темпер. θ_D , а γ — коэф. туннелирования. Получены значения коэф.: $\alpha = 13,85$, $\gamma = 15,57$ и $\theta_D = 249,4$ К. Указано, что эти величины близки к известным для керамики Bi₂O₃+25 мол.% Y₂O₃, имеющей при низких т-рах стеклообразные св-ва. Отклонение от описанной зависимости, обнаруженное при т-рах ниже 0,13 К, авторами не объясняется, но предполагается связанным с граничным эффектом. Я. А. Федоровский

G;

X. 1989, N 12

Bi₂(MoO₄)₃

от 30696

1988

4 E269. Стеклообразное поведение монокристаллов Bi₂(MoO₄)₃ при низких температурах. Glassy behavior of Bi₂(MoO₄)₃ single crystal at low temperature / Kang K. Y., Her P. H., Jang M. S., Kim H. K., Park H. L., Finotello D., Chan M. H. W. // Solid State Commun.—1988.—67, № 7.—С. 723—724.—Англ.

Однофазный материал Bi₂(MoO₄)₃ был получен путем реакции в твердой фазе между соответствующими окислами при 500°С и затем использован для выращивания монокристаллических образцов по методу Чохральского. Измерение теплоемкости C при т-рах ниже 1,5 К нестационарным методом показало, что она может быть описана уравнением $C = \alpha T^3 + \gamma T$, причем второй член дает большой вклад в C при $T < 0,13$ К. По величине α определена дебаевская т-ра $\Theta_D = 294,4$ К, а величина γ , равная 15,57 свидетельствует о наличии туннельных скачков атомов, что аналогично эффекту двухуровневых систем в стеклах.

В. О.

окт. 1989, № 4

Mo₂Bi₂S₉

Om. 34196

1990

Boon L., Metselaar R.,

Kr. Cuyk-
nypa

Eur. J. Solid State
and Inorg. Chem. 1990,
27, N3, 381-389.

Bi₂MoO₆

1992

12 Б2054. Сравнение кристаллических структур γ -Bi₂MoO₆ и Bi₂WO₆. Comparison of the crystal structures of γ Bi₂MoO₆ and Bi₂WO₆ /Thompson John G., Schmid Siegbert, Withers Ray L. //J. Solid State Chem. .—1992 .—101 ,№ 2 .—С. 309—321 .—Англ.

Сравниваются структуры изотипных минералов кехлиниита, γ -Bi₂MoO₆ и русселита Bi₂WO₆, к-рые являются членами семейства Ауривиллиуса Bi₂O₂, A_{n-1}B_nO_{3n+1}, при n=1, обладающие сильным ферроэлектричеством. Ранее изученная структура Bi₂WO₆ (с использованием данных нейтронной порошковой дифракции, полученных по времеполетной и монохроматизир. методике), уточнена РСТА при низких т-рах, что позволило в сочетании с данными электронной микроскопии и электронной дифракции выявить истинную симметрию этих соед. Рса2₁ вместо ошибочной B2ab. Структуры изучались как на природных, так и на синтетич. образцах. Р. К. Расцветаева



X. 1994, N 12